

小金库

260437

# 易燃原油的输送

苏联B·H·车尔尼金著



石油工业出版社

# 易炭石油的輸送

苏联B·И·车尔尼金著

董大凡譯 張英校訂

石油工业出版社

## 內容提要

本書從理論上闡述了用管路輸送粘滯而易凝的（含蜡的）原油和產品的各種問題：原油的主要物理性質和流變性、最優參數、輸油管的熱力和水力計算，分析了用管路輸送高凝固點含蜡原油和高粘度瀝青質原油和產品的工藝問題。本書以比較大的篇幅介紹了“熱”輸油管加熱站和輸油站的設備、建造特點和運轉問題，對我國輸油管的設計、施工和操作有理論和實際的指導意義。

本書可供從事原油管路輸送的工程技術人員和石油院校的師生參考和學習。

В.И.ЧЕРНИКИН

## ПЕРЕКАЧКА ВЯЗКИХ И ЗАСТЫВАЮЩИХ НЕФТЕЙ

根據蘇聯國立石油燃料科技書籍出版社(ГОСТОПТЕХИЗДАТ)

1958年莫斯科版翻譯

統一書號：15037·790

### 易凝原油的輸送

严大凡譯 張英校訂

石油工業出版社出版 (地址：北京市朝陽區石油工業部)

北京市書刊出版集體票點 西城出字第088號

石油工業出版社印刷廠印刷 新華書店發行

860×1168毫米開本 \* 印張536 \* 133千字 \* 印1 1,500冊

1959年10月北京第1版第1次印刷

定價(10) 0.86元

# 目 录

## 結論

第一章 原油的物理性質和流變性 .....	6
§ 1. 反常粘度和可塑性 .....	6
§ 2. 結構的形成 .....	10
§ 3. 結構恢復性(触变性) .....	15
§ 4. 原油的溫度性質 .....	17
第二章 結滯的和易凝的冷原油的輸送 .....	20
§ 5. 結滯的和含蜡的原油輸油管的最优参数 .....	20
§ 6. 含蜡原油管路輸送的特性 .....	31
§ 7. 輸油管的最优埋置深度 $h_{opt}$ .....	38
第三章 高粘度和高凝固点原油的加热輸送 .....	43
§ 8. 需要加热輸送的原油种类 .....	43
§ 9. 輸油管的热力情况 .....	44
§ 10. “热”輸油管的水力情况 .....	63
§ 11. 逐級變徑式“热”輸油管 .....	88
§ 12. “热”輸油管生产能力的提高 .....	93
§ 13. “热”輸油管站的设备及其佈置 .....	102
§ 14. “热”輸油管建造上的特点 .....	112
§ 15. “热”輸油管的運轉 .....	116
参考文献 .....	167

## 原序

在苏联用大型管路输送原油和产品的数量逐年都在增長，并將新建更多長达数千公里的大型輸油管。在用管路輸送輕質原油和产品的同时，輸送易凝含蜡原油和高粘度原油的管路的数目显著增加。为了經營这些輸油管，需要大批的工程师、技术員和工人。

为了进一步在技术上改善易凝和粘滯原油的輸送情况、进行理論性的研究和积累輸油管的設計和經營方面的經驗，必須总结国内外在这个方面的經驗。

本書主要介紹原油和产品在大型管路中的輸送，但也能够应用于矿場、煉厂和油庫的短距离輸油管。

本書將介紹現代 輸送易凝的和高粘度的 原油管路的技术情况。这是初次的尝试。作者向提出意見和批评的讀者預致謝意，并相信这些意見和批评將有助于修正本書的缺点。

作者

## 緒論

近年来，在苏联和外围，高凝固点含蜡原油和高粘度原油的开采量激增。东部地区石蜡含量达6—8%的含蜡原油是苏联主要的原油来源。北美、南美和中东的石蜡含量为5—6%的原油开采量也显著增长。

指 标	1940年	1945年	1950年	1955年
中东原油的开采量 百万吨/年	13.7	26.6	85.0	158.0
占世界开采量的百分比	4.77	7.40	16.9	20.5

在苏联的伊尔斯克-霍尔姆斯克地区、美国的加利福尼亞、委內瑞拉和其他国家中，高粘度的沥青质的原油的开采量显著增长。与此同时，在原油加工时，轻馏分和中间馏分的提取率不断增加。致使重油的含蜡量和粘度增高。

运送含蜡的和高粘度的原油及石油产品存在一系列的困难。如果它们的粘度随着温度的降低而显著增长，输送高粘度原油将很复杂：输油管在停止输送以后启动复杂，可能自发地减少输油管的生产能力直到几乎完全停止等等。很多含蜡原油在输送温度下具有一系列反常的性质。这种反常的性质可能破坏输送情况。远在粘度开始增长并影响输送情况以前，就会使输油管停止输油和“冻结”。如果对这种原油的流变性和其他的物理性质没有正确的认识，可能会减小管路的设计生产能力，安装多余的泵站和加热站，增大输送机组的功率等等。

由此可见，研究在技术文献中很少谈到的用管路输送高凝固点含蜡原油和高粘度沥青质原油的工艺问题，具有特别重要的意义。在很多石油工业高度发达的国家里（表1），用管路输送这些原油，但是输送的规模不很大。主要的原因在于，对原油的流变性

表 1

## 世界上某些“热”输油管的主要资料

编 号	输油管名称	长 度 公 里	直 径 时 公 里	泵 站 数	原油加 热温度 °C	在输出管 终点的原 油温度 °C	生产能力 米 <sup>3</sup> /小时	系 压 大 气 压	原油的特性：	
									$\gamma$ —比重， $\mu$ —运动粘度， $\rho$ —绝对粘度。	$\gamma_1$ —高凝固点( $+22-25^{\circ}\text{C}$ )， 含蜡( $17-26\%$ )
1	阿在克-苏阿路-格罗兹内 (苏联)	198	12	2/7	~55	~30	—	—	高凝固点( $+22-25^{\circ}\text{C}$ )， 含蜡( $17-26\%$ )	$\gamma_1=1.55$ , $\gamma_{15}=0.96$ 吨/ 米 <sup>3</sup>
2	卡尔斯卡亚-克拉斯诺达尔 (苏联)	47	10	2/2	~50	10-20	—	40-50	高粘度。 $\gamma_{10}=3.0$ 吨, $\gamma_{20}=0.98$ 吨/米 <sup>3</sup>	$\gamma_1=1.55$ , $\gamma_{15}=0.96$ 吨/ 米 <sup>3</sup>
3	库姆达基-威什卡(苏联)	39.5	12	1/1	~50	~30	—	16-18	高凝固点( $+25^{\circ}\text{C}$ )，含蜡 (18.5%)。 $\mu_{60}=0.1$ 泊, $\gamma_{20}=0.88$ 吨/米 <sup>3</sup>	$\gamma_1=1.55$ , $\gamma_{15}=0.96$ 吨/ 米 <sup>3</sup>
4	卢开尔斯菲利德-斯尔其内尔 (美国)	413	10/12	11/11 (到 104)	~80	35-40	~200	70	高粘度的加利福尼亚原油 $\gamma_{10}=1.55$ , $\gamma_{15}=0.96$ 吨/ 米 <sup>3</sup>	$\gamma_1=1.55$ , $\gamma_{15}=0.96$ 吨/ 米 <sup>3</sup>
5	施别尔顿-摩比利(美国)	142	14	2/10	~60	25-30	~280	70	高粘度的巴克斯杰尔威尔 $\gamma_{10}=1.55$ , $\gamma_{15}=0.96$ 吨/ 米 <sup>3</sup>	$\gamma_1=1.55$ , $\gamma_{15}=0.96$ 吨/ 米 <sup>3</sup>
6	列别克-摩依瓦(美国)	84	8	4/4	~90	~40	~110	60	高粘度。 $\gamma_{10}=5.0$ 泊, $\gamma_{20}=0.97$ 吨/米 <sup>3</sup>	$\gamma_1=1.55$ , $\gamma_{15}=0.96$ 吨/ 米 <sup>3</sup>
7	碧海丽亚-阿维拉(美国)	48	10	2/2	达 107	—	160	—	高粘度。 $\gamma_{10}=460$ 泊, $\gamma_{15}=0.935$ 吨/米 <sup>3</sup>	$\gamma_1=1.55$ , $\gamma_{15}=0.96$ 吨/ 米 <sup>3</sup>
8	巴恩科-托列斯(墨西哥)	38	8	2/2	~70 (到 105)	~50	125	60	高粘度。 $\gamma_{10}=0.985$ 吨/ 米 <sup>3</sup>	$\gamma_1=1.55$ , $\gamma_{15}=0.96$ 吨/ 米 <sup>3</sup>
9	利里克-布阿格德①(印度 尼西亚)	150	8	6/5	~70	—	~220	70	高凝固点( $+40^{\circ}\text{C}$ )。 $\mu_{50}=$ 0.25 泊, $\gamma_{15}=0.89$ 吨/米 <sup>3</sup>	$\gamma_1=1.55$ , $\gamma_{15}=0.96$ 吨/ 米 <sup>3</sup>

和輸送工艺还很少研究。輸送粘度和含蜡量在很大范围内变化的原油具有下述特点。

原 油 的 特 性	輸 送 的 特 点
1. 低凝固点，較高的粘度	1. 增大泵站压力(約达 120 大气压)
2. 低凝固点，很高的粘度	2. 增大輸油管直径
3. 高粘度(依尔斯克，聖-阿尔多)和高凝固点(庫姆达格斯克，坏明俄)	3. 加热原油或用低粘度和低凝固点原油或馏分混合
4. 半固体(高粘度和高凝固点的重油和瀝青等)	4. 加热和增大管徑

在美国，根据 B. W. 涅利松的意見，不加热輸送原油的較适宜和經濟的極限粘度  $\nu_{ss}^{MAX}$  等于：

管路直徑, 吋	4	6	10	20
$\nu_{ss}^{MAX}$ , 厘米 <sup>2</sup> /秒	0.9	2.2	4.5	10

在油庫里，如果原油的粘度不超过 8—10 厘米<sup>2</sup>/秒，能够不預热而进行灌裝作業。

如果对原油提出的加工要求允許的話，高粘度和高凝固点原油同較的低凝固点原油相混合，能够降低它的粘度 和凝固溫度(表 2)。

將原油在38°C(100°F)时的粘度降低到 0.2 厘米<sup>2</sup>/秒所需的溶剂的試驗含量  
(根据 B. W. 涅利松的数据) 表 2

溶剂 劑	重原油的粘度 $\nu_{ss}$ , 厘米 <sup>2</sup> /秒									
	110	55	27.5	15	8.5	5	3.2	2.2	1.5	0.75
$\nu_{ss} = 0.018$ 厘米 <sup>2</sup> /秒的輕原油	47	45	43	41	39	36	33	30	28	22
$\nu_{ss} = 0.075$ 厘米 <sup>2</sup> /秒的輕原油	71	69	68	67	65	63	61	58	55	46

精确确定应用这些輸送方法的界限是很困难的。因此采用这种或那种輸送方法應該根据各方案的技术經濟比較。在本書中关于这个问题沒有列許多周詳的材料，仅探討了下述主要問題：

1. 原油的流变性;
2. 在冷状态(在周围介质温度的情况下)下输送的工艺特征;
3. 热原油的输送工艺。

# 第一章 原油的物理性质和流变性

## § 1. 反常粘度和可塑性

根据牛顿定律，原油的绝对粘度

$$\mu = \tau : \left( \frac{dw}{dr} \right), \quad (1.1)$$

式中  $\tau$ ——剪切应力；

$\frac{dw}{dr}$ ——管路径向的速度梯度或剪切速度。

在管路的内壁上根据内力与外力相等的条件，

$$\pi R^2 p = 2\pi R l \tau_0,$$

因而

$$\tau_0 = \frac{pR}{2l}, \quad (1.2)$$

式中  $\tau_0$ ——最大剪切应力(见图 8)；

$l$ ——长度；

$R$ ——管路半径；

$p$ ——压力。

根据普阿塞里公式，在管壁处

$$\frac{dw}{dR} = \frac{4Q}{\pi R^3} \quad (Q \text{——原油流量})$$

因而

$$\mu = \left( \frac{pR}{2l} \right) : \left( \frac{4Q}{\pi R^3} \right). \quad (1.3)$$

方程式(1.3)右边的全部数值能够由实验确定。在  $\tau_0$  和  $\frac{dw}{dR}$  的坐标上，方程式(1.3)的关系是直线(图 1,a)。它对横坐标的斜率就表示原油的绝对粘度  $\mu$ (正常的真实粘度)。这个图解表示了原油在相当高的温度  $t_a$  情况下的特性。此时原油中不含有呈网状结

構狀的固体石蜡(凝膠)。这样的原油被認為是牛頓液体。在一定的溫度下粘度是常数，不受剪切速度的影响。这种原油总是液态，在很小的压力差下就开始流动。

在比較低的溫度  $t_0$  情况下，从原油中分离出固体石蜡，原油轉入凝膠狀，变成非牛頓液体，性質反常。它的粘度  $\mu \neq$  常数，随剪切速度而变化(如圖 1 中的曲綫 6)。

由于破坏了石蜡颗粒間的联系，粘度  $\mu$  随剪切速度的增大而减小。在剪切速度足够大的情况下， $\mu \approx$  常数(曲綫的直線部分)。在溫度接近原油凝固点的溫度  $t_e$  时，可以看到这种形狀的曲綫。在更低的溫度  $t_0$  下，原油中形成了足够坚固的石蜡結構網絡，使原油获得了反抗剪切力(压力差)的性質，只有当剪切应力  $\tau_0 > \tau_e$  时才流动(見圖 1 中的曲綫 6)。这样的原油称作可塑性原油。它們具有固体的性質。当压力小时，在管路中不流动；当压力提高到  $p_e$  而相应的剪切应力大于或等于  $\tau_e$  时，才开始流动。由方程式(1.2)可得出

$$p_e = \frac{2\tau_e l}{R}. \quad (1.3a)$$

在压力  $p_e$  下，原油的剪切(即石蜡結構網絡破坏)沿着管子的内表面进行。在这以后抗剪阻力下降，可以在  $p < p_e$  的情况下

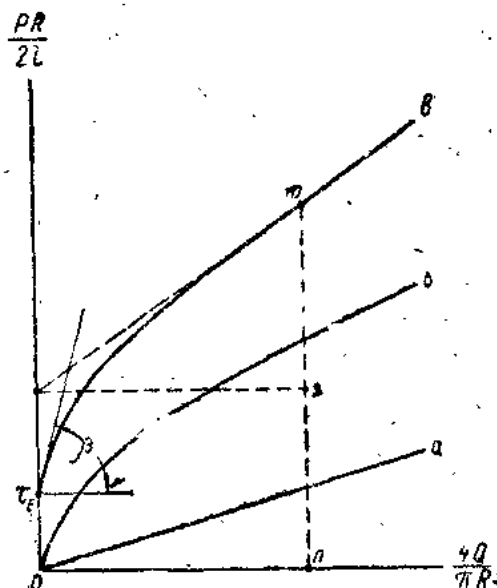


圖 1 原油的反常粘度

进行輸送。

在溫度  $t_0$  下，原油繼續保持不动的最大剪切应力  $\tau_e$  称作原油的流动極限。在  $t_0$  或較高的溫度下，流动極限  $\tau_e=0$ 。在反常的曲线上(圖 1 的曲線 6 和 8)可以將原油的粘度區別为三类：

1. 有效粘度(結構粘度)  $\frac{mn}{on}$  在不同数值的应力和剪切速度下粘度不同；

2. 角粘度  $\frac{ms}{on}$  适用于在曲線的直線部分的任何数值的剪切速度和剪切应力，角粘度总是小于有效粘度；

3. 起始粘度 等于  $\operatorname{tg} \beta$ ，相当于在剪切速度接近于零时曲線 6 的切线的斜率。在  $\tau_0 < \tau_e$  时，可塑性原油的起始粘度为無穷大。

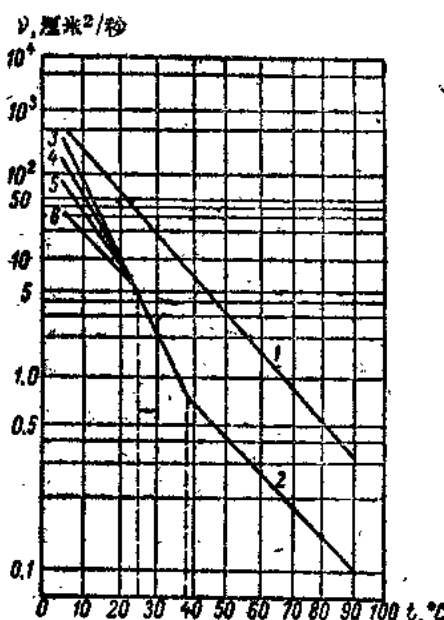


圖 2 原油的粘度和溫度及剪切应力的关系

同一种原油在高溫时是牛頓液体，而在低溫时却是非牛頓液体，性質反常甚至是可塑性的。高粘度原油常在很大的溫度范围内都具有真实粘度的特性。例如粘度  $\eta_{20}=55$  厘米<sup>2</sup>/秒的伊尔斯克的巧克拉克地層的原油在溫度为  $-10^{\circ}\text{C}$  甚至更低的情况下仍然是牛頓液体。含有大量石蜡的高凝固点原油則相反，甚至在相当高的溫度下也呈現反常粘度。例如含蜡 18.5% 凝固点为  $25^{\circ}\text{C}$  的庫姆达葛斯克原油在溫度小于  $52^{\circ}\text{C}$  时就呈現反常粘度。

圖 2 所示为牛頓液体的原油和非牛頓液体的原油的粘度曲

綫 1 和 2，后者在  $t < 38^{\circ}\text{C}$  时有反常粘度，而当  $t < 25^{\circ}\text{C}$  时它的粘度有力的决定于剪切应力（曲綫 3 相当于  $\tau_0 = 100 \text{ 达因/厘米}^2$ ；曲綫 4 相当于  $200 \text{ 达因/厘米}^2$ ；曲綫 5 相当于  $400 \text{ 达因/厘米}^2$ ；曲綫 6 相当于  $\tau_0$  为無窮大）。

实地觀察原油在管徑為 16 吋長 200 米的管子內的輸送情況（輸送油溫為  $+3^{\circ}\text{C}$ ，原油凝固點為  $+18^{\circ}\text{C}$ ，粘度  $\nu_{sp} = 0.75 \text{ 厘米}^2/\text{秒}$ ），得到下述結果：

泵 壓 $p$ 公斤/厘米 <sup>2</sup>	原油流量 $Q$ 米 <sup>3</sup> /小時	剪切应力 $\tau_0$ 公斤/厘米 <sup>2</sup>	有效粘度 $\nu_a$ 厘米 <sup>2</sup> /秒
0.98	不动	0.00045	—
1.76	开始运动	0.00083	沒有測定
0.98	234	0.00045	26.2

从这些數字中可以得到一个有趣的結論，在运动着的原油中动剪切应力  $\tau_a = 0.00045 \text{ 公斤/厘米}^2$  比流动極限  $\tau_0 = 0.00083 \text{ 公斤/厘米}^2$  几乎小一半。这个現象可用石蜡結構網格的破坏來解釋。因此，結構的破坏相当于在黏度曲綫上过渡到較高的溫度（圖 1）。因而，在凝結原油的剪切压力  $p_a$  下（相應于  $Q \approx 0$  的流动極限  $\tau_0$ ），也能够以高流量輸送原油 ( $Q = 234 \text{ 米}^3/\text{小時}$  見上表) 如果輸油管在某些時候曾以大于  $p_a$  的压力工作过。这个現象將在 § 6 中詳細解釋。因此  $\tau_a$  聞明了在起動期間原油的運動能力。由方程式(1.3a)根据  $\tau_a$  确定起動压力  $p_a$ 。

由于泵的吸入高度的限制(4~6公尺水柱)，長的吸入管綫的启动几乎是困难的。在某些實際情況下(見[1]C. M. Cawley)，原来  $\tau_0 \leq 300 \text{ 达因/厘米}^2$  而在吸入管路中則上升到  $500 \text{ 达因/厘米}^2$ 。應該采取預熱措施来改善吸入情况。在启动大型管路时，尽管泵压很高，也会遇到类似的困难。根据方程式(1.3a)，具有相同的  $\frac{1}{R}$  关系的管路当  $\tau_0$  一定时，起動压力  $p$  將是一样的。但是，必須考慮到在品种更換、热处理等等情况下原油的流变性的

改变。因而，为了确定原油沿管路的流动性能，必须知道它的流动极限和在管路工作的温度范围内粘度曲线变化的特征。图1的曲线能够用 CHC-1、B. C. 菲拉托夫、Ф. Н. 什维多夫、申勃来和其他型号的旋转(扭力)粘度计求出。

目前还是普遍应用称作原油凝固温度的  $t_3$  来表示原油的流动性能。从概念上说， $t_3$  应该表示原油不能流动时的温度。但并非如此（见 § 6），在低于  $t_3$  的温度下原油能够流动。这是由于  $t_3$  不能表示结构强度。在  $t_3$  时的剪切应力是不同的，虽然从推理上判断它们应该是一样的。大部分原油在  $t > t_3$  时就具有反常粘度，具有同样的  $t_3$  的同一种原油在不同的热处理以后有不同的流动性和  $\tau_e$ 。用简单方法决定的  $t_3$  只能表示原油可能流动的某些概念。这便于原油的分类。但为了水力计算应该用比较可靠的依据——流动极限  $\tau_e$  来代替  $t_3$ 。必须说明， $t_3$  和  $\tau_e$  都随原油所曾经受到的热处理情况而变化。但是，统计材料指出， $\tau_e$  的数值的重复性比  $t_3$  要好得多（由于对原油的流变性还研究得不够，在今后的讨论中还是用  $t_3$  代替  $\tau_e$ ）。

## § 2. 结构的形成\*

出现原油的反常粘度和可塑性的主要原因是，在温度降低时溶解度减小并析出石蜡。在高温下全部石蜡溶解于溶液中。在开始结晶的温度下，因为溶液过饱和，它开始从原油中析出。继续降低温度，石蜡的结晶数量增加，并形成类似海绵的将液相包含于其中的空间网状结晶，致使完全丧失流动性——原油凝结。原油中的沥青质吸附在石蜡结晶的表面上，能阻碍结晶的成长并形成不同的结构。随着原油中沥青质含量的减少，形成数量不大的粗的石蜡结晶。结构的形成过程较快。在高沥青质的原油中形成细小的结晶，结构的成长较慢。原油的粘度对阻碍结晶的成长也有类似的影响。通常，在管路上沉积石蜡的原油的粘度小。

\* 所述的有关第二巴库原油的流变性的問題見 B. Ф. 涅熱文科, Г. Т. 尼基金亞娜和刀. А. 切維脫考夫等人的文章[2]和[3]。

于 0.2 厘米<sup>2</sup>/秒。当格罗兹内原油用 36% 的煤油稀释以降低其黏度时，在管壁上发现结蜡情况。在由于提高黏度而使原油乳化的情况下，石蜡停止析出。

颗粒的形状和分散程度比结晶物质的绝对数量将在更大的程度上决定石蜡结晶形成的结构的机械性质。细小结晶的结构比粗大的结晶坚固。因此随着沥青胶质数量的增多，结构的强度增高。流动极限  $\tau_0$  能足够好地表示结构的强度。在表 3 所示为东部地区和其他矿区的原油的某些流变性。

某些原油的流变性

表 3

原 油	$\gamma_{20}$ 吨/米 <sup>3</sup>	$\mu_{20}$ 厘泊	凝固 温度 °C	含 量, %		温 度, °C			
				石蜡	沥青 胶质	出现 石蜡 结晶	出现 反常 黏度	出现 流动 极限	
波克洛夫斯克	第二巴 库[2]	0.80	2.6	-7	5.6	3.0	47	15	10
基哈诺夫斯克		0.84	8.2	-8	7.5	11.4	49	20	13
苏丹古罗米斯克		0.88	26.7	-17	5.1	16.1	42	0	15
拉达也夫斯克		0.90	89.5	-23	7.9	20.0	47	低于 0	很低于 0
米努辛斯克	[3]	—	—	+17	22.0	22.3	—	33	21
库姆达万斯克		0.88	$\mu_{20} =$ 10	+25	18.5	11.4	—	52	32
哥尔斯克		—	80	+11	10.6	10.9	—	22	16
什尔斯克		0.98	5500	低于 -29	0	48	—	—	—

表 3 指出：1. 在很大的温度范围内原油中存在石蜡结晶，但原油并不呈现出流变性。例如，波克洛夫斯克原油在温度从 +47°C 降低到 +15°C 的情况下，虽然有石蜡析出，它仍然是牛顿液体；2. 随着沥青胶质含量的增多和原油粘度的升高，石蜡开始结晶的温度、出现反常粘度和可塑性的温度均降低，结构形成的过程转入 0°C 以下的温度范围内。在 0°C 时，高沥青质原油（沥青胶质含量大于 12—15%）具有正常粘度；含有中等含量和少量沥青胶质的原油（沥青胶质含量到 10—12%）具有反常粘度和可塑性。

由于高瀝青質原油結晶的條件不利，在一定的溫度下析出的石蜡較之在同樣條件下的低黏度和低瀝青質的原油為少。在這個情況下，由於被高黏度介質所隔離的石蜡結晶高度分散，不能由結晶構成引起黏度反常和可塑性的致密的結構。

必須指出，在儲存過程中，原油出現反常黏度和可塑性的溫度不是常數，是隨著輕餾分的蒸發而逐漸升高的。表示結構強度的流動極限  $\tau_e$  和黏度一樣是溫度的函數（表 4）。

原油的  $\tau_e$  和溫度的關係

表 4

原 油	溫 度 度 °C					凝固溫度 °C
	-20	-10	0	10	20	
波克洛夫斯克	0.55	0.15	0.03	0.01	沒有	-7
洛潤尼金	1.75	0.73	0.08	0.01	沒有	-3
拉達也夫斯克	0.95	0.38	沒有	沒有	沒有	-10

由表 4 看出，通常在溫度高於原油的凝固溫度 10—15°C 時，呈現流動極限。在  $t_0$  時所形成的結構的強度在很大的範圍（從 0.08 到 0.4 克/厘米<sup>2</sup>）內變化。少瀝青質和中等瀝青質含量的原油流動極限的溫度曲線具有平緩的特性；這些原油出現流動極限  $\tau_e$  和凝固溫度  $t_0$  間的溫度範圍比高瀝青質原油的寬得多。高瀝青質原油的結構強度是從出現  $\tau_e$  到  $t_0$  間比較窄的溫度間隔內增加的。

原油的流動極限  $\tau_e$  (克/厘米<sup>2</sup>) 每時間的變化關係

表 5

原 油	試驗溫度 °C	時 間 小 時					
		0.5	1	2	3	4	5
波克洛夫斯克	-14	0.10	0.16	0.08	—	—	—
拉達也夫斯克	-22	0.18	0.27	0.30	0.35	0.44	0.45

含蜡原油結構形成的时间是不同的(表5)：少瀝青質的原油結構形成过程結束得很快。在这以后由于結晶变粗，結構的强度甚至会下降。随着瀝青膠質含量的增多，結構形成的时间增長。

用 $\tau_e$ (或用比較不可靠的 $t_s$ )表示的含蜡原油或重油的流动性能决定于它們曾經受过的热力情况(如曾經经过热处理)。热处理的影响在1923—1924年首先被A. H. 薩哈諾夫, A. A. 卡沙也夫[4], 罗傑爾和阿傑爾松[5]等發見。曾經遇到这样的情况，將含蜡原油預热到大約35—45°C时，有效黏度 $\mu_s$ 和凝固溫度 $t_s$ 总是增大到最大值，繼續把預热溫度增高到60°C或60°C以上，则引起 $\mu_s$ 和 $t_s$ 的剧烈下降(圖3)。在热处理时所發生的物理过程还没有完全搞清楚。一般对它的影响作这样的解釋：在溫度高于石蜡开始結晶的溫度时，在液相中分子重新排列，石蜡結晶網絡进行調整。热处理仅对具有反常黏度和可塑性的原油才有效。对于牛頓液体的原油，热处理是無效的，这同样适用于剛生产出来的含蜡重油，只有当保存几週或几个月以后，或預先很快冷却到低温时(見C. M. Cawley[1])，热处理才有效。在低温时，热处理对 $\mu_s$ 的影响最激烈。大部分东部地区的少瀝青質原油(除了高瀝青質的拉达也夫斯克原油)在热处理到 $t>50^\circ\text{C}$ 时， $0^\circ\text{C}$ 时的有效黏度几乎降低50%。瀝青膠質能降低 $t_s$ 。很多原油去掉瀝青膠質以后，热处理的影响就不灵敏。

除了預热溫度以外，原油的冷却速度和終了溫度对热处理有很大的影响。表6所示为 $v_{60}=0.3 \text{ 厘米}^2/\text{秒}$ 的中东重油的凝固溫

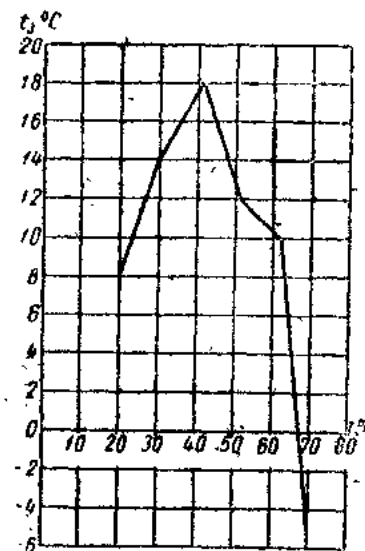


圖3 热处理 对格罗茲內原油凝固溫度 $t_s$ 的影响